

## METAL ALT YAPI YÜZEY ÖZELLİĞİNE BAĞLI OLARAK ÜÇ AYRI ESTETİK MATERİYALİN TUTUNMA KUVVETLERİİNİN İNCELENMESİ

Yrd. Doç. Dr. Zeynep YEŞİL\*

AN INVESTIGATION OF BOND  
STRENGTHS OF THREE DIFFERENT ESTHETIC  
MATERIALS DEPENDING ON METAL  
SUBSTRUCTURE SURFACE FEATURE

### ÖZET

Bu çalışmada, veneer kuron yapımı için kullanılan, üç ayrı estetik materyalin, metal yüzeyinin özelliğine göre göstermiş oldukları tutunma kuvveti karşılaştırılmış olarak incelenmiştir.

Sonuçta, kumlama yapılarak pürüzlendirilmiş örneklerin, retansiyon boncuklulara göre daha düşük bağlanma kuvveti gösterdiği, en fazla bağlanma kuvvetinin ise, Dentacolor'da olduğu istatistiksel olarak tespit edilmiştir.

**Anahtar Kelimeler:** Estetik materyal, metal yüzeyi, tutunma kuvveti.

### SUMMARY

In this study, the bond strengths of three different materials used in making veneer crown have comparatively been analysed by considering the surface feature of the metal.

As a result, it has statistically been established that the samples roughened by sand-blasting have shown lower bond strength than the ones with retention bead-blasting and the firmest bond strength has been in the Dentacolor.

**Key Words:** Esthetic material, metal surface, bond strength.

### GİRİŞ

Protetik restorasyonlarda kullanılan estetik materyaller, yapılarına göre; akrilik esaslı ve porselen olmak üzere iki grupta toplanabilir.<sup>6,19,25</sup>

Estetik ve biyolojik uyumu çok iyi olan metal destekli porselen kuronlarda marjinal mikrosızıntı yoktur. Renk stabilitesi ve aşınmaya karşı direnci iyidir.<sup>1-3,18,19</sup> Porselen düşük gerilim dayanımına sahip olduğundan özel bir hazırlama teknigi gerekir, metal ile porselenin termal genleşme katsayıları benzer olmalıdır. Doğal dişleri aşındırabilir, pahalıdır ve yapımı için özel ekipman gereklidir.<sup>3,19</sup>

İşıyla polimerize olan akrilik rezinler, manipasyon kolaylığı göstermeleri ve ucuz olmaları sebebiyle günümüzde, kuron-köprü protezlerinde yaygın olarak kullanılmaktadırlar.<sup>13,19</sup>

Yapılan çalışmalar sonucunda, polimetilmetakrilat veya akrilik rezin kopolimerlerinin yanısıra, mikrofil doldurucu sistemi BIS GMA komposit kökenli, laboratuvara ışıkla polimerize olan veneer materyalleri kullanıma sunulmuştur.<sup>3,21</sup>

Estetik malzeme ile metal alt yapı bağlantısında meydana gelen ayrılmalar, kuron-köprü protezlerinde karşılaşılan en önemli problemlerdenidir.<sup>11,24</sup> Akrilik rezinler, metallere sürekli bir adezyon göstermezler. Uzun süreli bir retansiyon, ancak mekanik bir kilitlenme ile sağlanır.<sup>11,15,16,20</sup> Tutuculuk için; çentik, oluk gibi yüzey özellikleri yanında, küresel retansiyon bilgileri kullanılmaktadır.<sup>11,15,16,24</sup> Bünlar, akriligin tutunduğu yüzeyin artırılması yanında, metal alt yapıya bağlandıkları bölgelerde oluşturdukları andırkat vasıtasiyla tutuculuk sağlarlar.<sup>15,16</sup> Özellikle retansiyon boncukları ile yapılan çalışmalarda yeterli sonuçlar elde edilmiş ise de, ısgal ettikleri yer nedeni ile ilave kesim gerekmekte veya estetik olmayan restorasyonlar kaçınılmaz hale gelmektedir. Bu nedenle, son yıllarda metal yüzeyinde mikroretansiyon bölgeleri oluşturma çabaları yoğunlaşmış ve bu konuda çok sayıda araştırma yapılmıştır.<sup>2,11,23,24</sup>

Çalışmamızın amacı, veneer kuron yapımı için kullanılan polimetilmetakrilat kökenli bident ve stellon marka akrilik rezinler ile rutin pratik çalışmalara yeni giren ışıkla polimerize olan materyallerden Dentacolor'un metal yüzeyinin özelliğine göre göstermiş oldukları tutunma kuvvetinin karşılaştırılmış olarak incelenmesidir.

\* Atatürk Üniv. Diş Hek. Fak. Protetik Diş Tedavisi Ana Bilim Dalı Öğretim Üyesi.

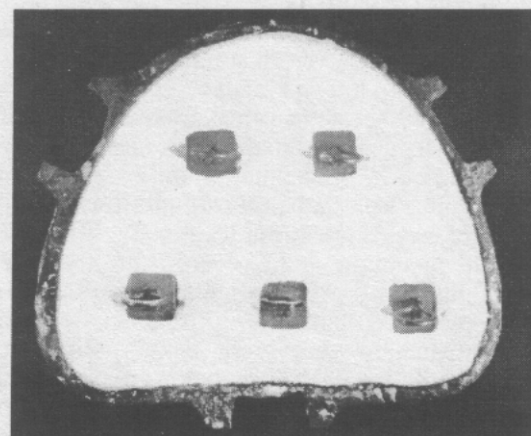
## MATERYAL ve METOD

Test örneklerinin hazırlanmasında  $1 \times 1 \text{ cm}^2$  boyutlarında 3 mm. kalınlığında metal plaka kullanıldı. Standardizasyonu sağlamak için Wash ölçü yöntemi uygulanarak Optosil- Xantropren L (Bayer Dental D- 5090 Laverkusen) ile ölçü alındı. Silikon kalıp içerisine inley döküm mumu (Ash Pinnacle, Amalgamed Dental) dökülekerek 30 adet mum model elde edildi. Bu mum modellerden, 15 tanesinin yüzeyine 0.01 mm çapındaki retansiyon boncukları, aralarında yaklaşık bir boncuk çapı kadar mesafe kalacak şekilde yerleştirildi, kalan 15 tanesi ise boş bırakıldı. Sonuç olarak, alaşımıla estetik malzeme arası bağ kuvvetinin ölçümünde iki farklı yüzey esas alındı:

- Dökümden sonra kumlanarak pürüzlendirilmiş yüzey, ve

- Retansiyon boncukları yerleştirilmiş yüzey.

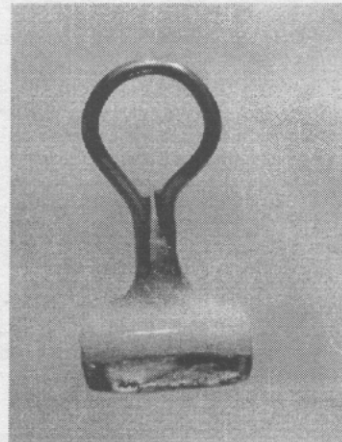
Mum modellere, yüzey gerilimini azaltıcı surfactan likit (Unitek Debubblizer) uygulandı, üretici firmamın önerilerine uygun olarak, fosfat bağlı revetmana (Heravest Super; Heraeus Edelmetalle) alındı. Mum eliminasyonu ve degasing işlemini takiben, yarı otomatik santrifüjlü döküm cihazında (Bego Fornex 35 M), krom-nikel合金 olan wirolloy (Bego; Emil-Sommer Strabe 7 - 9, D - 2800 Bremen 41) kullanılarak, dökümler elde edildi. Döküm yüzeyindeki oksit tabakası ve revetman artıkları kumlama cihazında (Minipol - Bego) giderildi. Tijler karbon separe ile kesildi. Döküm örnekler gruplara ayrılarak numaralandırıldı.



Resim 1. Muflaya alınmış modeller.

## Estetik Materyalin Uygulanması:

Retansiyonlu ve retansiyonsuz metal alt yapıların 20 tanesinin üzerine 0.7 mm. kalınlığında estetik materyali temsil eden pembe modelaj mumu (De Trey Dentsply) yerleştirildi. Test cihazındaki çekme için, örneklerin tam ortasına, yüzeye dik olarak, tutucu bir halka yerleştirildi. Bilinen yöntemlerle, her iki estetik materyal ayrı muflalara alındı. (Resim 1). Muflaların açılmasından sonra metal yüzeyi temizlenerek veneer materyallerinin opağı yüzeye sürüldü. Opak sertleştiğten sonra üretici firmamın önerileri doğrultusunda Biocent K-B plus (De Trey Dentsply) ve stellon (Amalgamated Dental) akriliklerin toz ve likiti karıştırıldı. Buraj safhasına geldiğinde metal alt yapı üzerine uygulandı. Kontrolü yapılan örnekler pres altında 5 dk. bekletildi. Daha sonra brite alınarak soğuk su dolu kaynatma kabına koyuldu. 30 dakika da  $100^{\circ}\text{C}$ 'ye çıkacak şekilde ısıtılıarak 25 dakika süreyle kaynatıldı. Kaynatma kabı oda sıcaklığında soğumaya bırakıldı. Örnekler mufladan çıkarıldı ve çapakları temizlendi (Resim 2).



Resim 2. Estetik materyal uygulamış örnek.

Dentacolor materyalinin opağı sürüldükten sonra 90 sn X 5 Unite polimerize edildi Biocent ve stellondaki estetik materyal kalınlıkları rehber alınarak, Dentacolor materyali X 5 unite 90 sn süre ile görünür ışık altında polimerize edildi. Polimerizasyon yapılırken diğerlerinde olduğu gibi, çekme uygulayabilmek için, tam ortaya yüzeye dik bir halka yerleştirildi.

Örneklerin yan yüzlerinde faset materyalinin bulunmamasına dikkat edildi.

Çekme deneyine tabi tutuluncaya kadar, 37°C'de su banyosunda bekletildi. Bağlantı kuvvetini ölçmek amacıyla, hazırlanan test örnekleri Hounsfield tensometre de 1 mm/ dakika çekme hızı uygulanarak çekme işlemeye tabi tutuldu.

Biometrik değerlendirme için varyans analizi kullanıldı, ortalama ve standart sapmalar hesaplandı.

## BÜLGULAR

Elde edilen değerlerin karşılaştırılmasında kullanılan Varyans analiz sonuçları Tablo I'de gösterildi.

Varyans analizinin değerlendirilmesinde ; yüzey şeklinin ve estetik materyal tipinin çok önemli olduğu istatistiksel olarak tesbit edildi.

Elde edilen değerlerin dağılım ve LSD testi sonuçları Tablo II'de gösterildi.

Tablo 1. Varyans analiz tablosu.

Varyasyon Kaynakları	S.D.	K.T.	K.O.	F
Yüzey (Y)	1	7244.7	7244.7	5097.75***
Estetik Materyal (EM)	2	4826.4	2413.2	1698.03***
İnteraksiyonlar YxE <sub>M</sub>	2	3053.3	1526.6	1074.21***
Hata	24	34.1	1.4	

\*\*\*p<0.001

Tablo 2. Deney sonucu elde edilen değerlerin dağılım ve LSD testi sonuçlarının gösteren tablo (Kg olarak).

	Kumlama					Retansiyon Boncuklu				
	N	Min.	Max.	$\bar{X}^a$	Sd	N	Min.	Max.	$\bar{X}^a$	Sd
Stellon	5	7.3	8.5	7.90 <sup>c</sup>	0.407	5	22.8	25.1	23.9 <sup>b</sup>	0.856
Biudent	5	9.4	10.5	9.88 <sup>c</sup>	0.492	5	24.9	26.5	25.6 <sup>b</sup>	0.672
Dentacolor	5	13.4	15.5	14.30 <sup>d</sup>	0.822	5	70.5	76.3	73.9 <sup>a</sup>	2.418

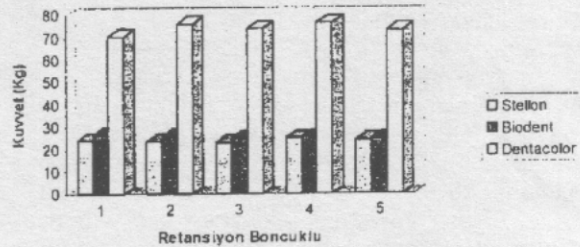
\*: Bir ana faktörde farklı harfle gösterilen ortalamalar arasındaki fark istatistiksel olarak önemlidir.  
a, b, c, d, e: (p<0.01).

Alt grupların karşılaştırılmasında kullanılan çoklu karşılaştırma (LSD) testinde, sonuçlar şu şekilde elde edildi:

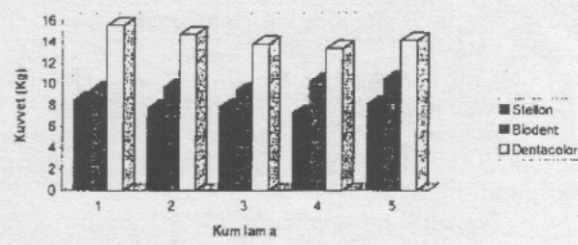
- Kumlama yapılarak pürlendlendirilmiş örneklerin, retansiyon boncuklu örnekler'e göre daha düşük bağlanma dayanıklılığı gösterdiği istatistiksel olarak tesbit edildi ( $p<0.001$ ).

- Biudent-stellon farkının istatistiksel olarak ötemsiz, bu iki estetik materyalden dentacolor'un farkının ise önemli olduğu ( $p<0.001$ ) istatistiksel olarak saptandı.

Uygulanan çekme kuvetine karşı, üç ayrı estetik materyalin gösterdiği dirençlerin kumlanılmış yüzeydeki sütun grafiği Grafik 1'de, retansiyon boncuklu yüzeydeki grafiği ise Grafik 2'de gösterildi.



Grafik 1.



Grafik 2.

## TARTIŞMA

Gearny,<sup>8</sup> metal- akrilik kuronlarda çubuk, inci ve pencereli sistemleri tavsiye etmiş, derin andırıkatların tutuculuğu artırdığını ifade etmiştir.

Johnston Phillips ve Dykema,<sup>9</sup> estetik materyal gelecek metal yüzeyinde, dik ve çevresel olarak halka şeklinde retansiyonlarının kullanımını tavsiye etmişlerdir.

Stananought,<sup>23</sup> mum model üzerinde, inci şeklindeki retansiyon boncuklarının kullanılabileceğini belirtmiştir.

Çalışmamızda, kumlama yapılarak pürtizlendirilmiş ömeklerin, retansiyon boncuklu örneklerde göre daha düşük bağlanma kuvveti gösterdiği saptandı. Elde ettiğimiz bulgular mekanik kilitlenmenin önemini kanıtlar nitelikte olup, yukarıdaki araştırmacıların görüşlerini desteklemektedir. Ayrıca bu sonuç, aşağıdaki araştırmacıların bulguları ile uyum göstermektedir.

Doruk ve arkadaşları,<sup>5</sup> yaptıkları çalışmada, sadece kumlama işlemine tabi tutulduktan sonra estetik malzeme ile kaplanmış ömeklerin, geleneksel retansiyon boncukları uygulaması ile pürtizlendirilen ömeklerden, daha düşük bağlanma kuvveti gösterdiğini tesbit etmişlerdir.

Faki ve arkadaşları,<sup>6</sup> çalışmaları sonucunda, akrilik esası estetik materyallerde, metal alt yapının kumlanmış yüzey yerine, retansiyonlu olarak hazırlanmasının daha uygun olacağını saptamışlardır.

Alaşım-estetik malzeme arasındaki bağ kuvveti alaşım yüzeyindeki düzgünslüğün derecesi ile uyumlu bir artış göstermektedir. Buradan bağı oluşturan ana mekanizmanın mekanik kilitlenme olduğu sonucuna varılabilir.

Çalışmamızda, retansiyon boncuk çaplarının büyük olmasının, metal alt yapı kalınlığını artırarak estetik problem oluşturabileceğini düşündürerek, küçük çapta retansiyon boncukları kullanıldı.

Shue ve arkadaşları,<sup>22</sup> yaptıkları çalışma sonucunda, küçük çaplı retansiyon boncuklu alt yapıya estetik materyalin tutunma kuvvetinin, büyük çaplı boncuklardan daha fazla olduğunu saptamışlardır.

Çalışmamızda, estetik materyallerden Dentacolor'un metal alt yapıya tutunma kuvvetinin, polimetilmetakrilatlardan fazla olduğunu tesbit ettik. Bu sonuç, aşağıdaki araştırmacıların bulguları ile uyum göstermektedir.

Nalbant ve Nalbant,<sup>14</sup> ışıkla ve ışıyla polimerize olan üç ayrı veneer materyalinin metal alt yapıya tutunma kuvvetlerini inceledikleri çalışmalarında, Dentacolor'un diğer konversiyonel akrilik rezinlere göre, daha fazla tutuculuk gösterdiğini tesbit etmişlerdir.

Jones ve arkadaşları,<sup>10</sup> yaptıkları çalışma sonucunda, Dentacolor'un tutunma kuvvetinin polimetilmetakrilatlardan fazla olduğunu saptamışlardır.

Musil ve Tiller,<sup>13</sup> ışıkla polimerize olan estetik materyallerde, ışıkla polimerize olan opağın mekanik ve kimyasal bağlanma sağladığını ileri sürmüştürlerdir. Elde ettiğimiz bulgular, bu görüşü desteklemektedir.

Akrilik rezinlerde, % 6-7 polimerizasyon büzülmesi vardır. Bunlar metal alt yapıya mekanik olarak tutunmaktadır. Bu durum retansiyonlarında azalmaya yol açar.<sup>13,19</sup>

Estetik materyal ile metal alt yapı arasındaki bağlantılı; Cassidy ve Stroie,<sup>4</sup> Mon,<sup>12</sup> tutucu yüzeyin tipinin, Ferrari ve arkadaşları,<sup>7</sup> Pegoraro ve Barrack,<sup>17</sup> kullanılan rezin tipinin önemli faktör olduğunu belirtmişlerdir.

Nicholls ve Nakanishi,<sup>15</sup> metal alt yapının yüzeyine bağlı özelliklere ilave olarak akriliğe bağlı faktörlerin de metal akrilik bağlantısında önemli olduğunu ifade etmişlerdir.

## KAYNAKLAR

1. Abbott SJ. Metal Ceramic restorations. J Prosthet Dent 1978; 39 (3): 293-4.
2. Akin E. Diş Hekimliğinde Porselen. 2. Baskı İstanbul, 1983: 207- 66.
3. Barzilay I, Myers ML, Cooper LB, Graser GN. Mechanical and chemical retention of laboratory cured composite to metal surfaces. J Prosthet Dent 1988; 59 (2): 131-7.
4. Cassidy ve Stroie DQ. Saliva contamination and resin bonding of etched metal retainers. J Prosthet Dent 1987; 57 (1): 29-32.
5. Doruk M, Burgaz Y, Yurdukor B, Kuron - köprü protezlerinde, estetik malzeme ile alaşım arasındaki bağ kuvvetinin elektro kimyasal dağlama ile artırılması. Hacettepe Diş Hek Fak Derg 1987; 11(3): 142-9.
6. Faki S, Artunç C, Kesercioğlu A. Metal alt yapıda akrilik ve porselen restorasyonlarda mekanik ve fiziksel özelliklerin incelenmesi. Ege Diş Hek Fak Derg 1993; 14: 191-5.
7. Ferrari M, Cagidiaco CM, Breschi B. Evaluation of resin bonded retainers with the scanning electron microscope. J Prosthet Dent 1988; 59 (2): 160-5.
8. Gerny A. Removable closure of the Interdental space Quintessence Books, Berlin 1982 (Kaynak 20'den alınmıştır).
9. Johnston J, Phillips R, Dykema R. Modern practice in crown - and bridge prosthodontics, 3 rd ed. Saunders Co, 1971 ( Kaynak 20'den alınmıştır ).
10. Jones RM, Goodacre CJ, Moore BK, Dykema RW. A comparison of the physical properties of four prosthetic veneering materials. J Prosthet Dent 1989; 61 (1): 38-44.
11. Livaditis GJ, Thompson VP. Etched castings: An improved retentive mechanism for resin - bonded retainers. J Prosthet Dent 1982; 47 (2): 52-8.

12. Mon PC. Resin - bonded bridge tensile bond strength utilizing porous patterns. *J Dent Res* 1984; 63: 320 (Abst No: 1345 ).
13. Musil R, Tiller HJ. The adhesion of dental resins to metal surfaces. The Kulzer silicoter technique. Wehrheim FRG: Kulzer and Co GmbH, 1984 (Kaynak 14'den alınmıştır).
14. Nalbant L, Nalbant D. Işıklı ve ısiyla polimerize olan üç ayrı veneer materyalinin metal alt yapıya tutunma kuvvetlerinin karşılaştırılması olarak incelenmesi. *Gazi Üniv Diş Hek Fak Derg* 1990; 7(2): 155-63.
15. Nicholls JI, Nakanishi DR. Tensile bond strength of veneering resins to opaque systems. *Quintessence Dent Techn* 1986; 10 (1): 35-8.
16. Nicholls JI, Shue SL. Effect of bead spacing on the tensile bond strength of resin veneers to cast alloys. *Quintessence Dent Techn* 1986; 10 (8): 511-5.
17. Pegora FL, Barrack GA. A comparison of bond strengths of adhesive cast restorations using different desings, bonding agents, and luting resins. *J Prosthet Dent* 1987; 57(2): 133-8.
18. Peyton FA, Craig RG. Restorative Dental Materials. Fourt Ed. CV Mosby Co. St Louis 1971.
19. Phillips RW. Skinner's Science of Dental Materials. Sevent ed. WB Sounders Co Philadelphia, London, Toronto 1973.
20. Poyrazoğlu E. Akril- metal bağlantısına retansiyon şekilleri ve polimerizasyon tekniklerinin etkileri. *Istanbul Üniv Diş Hek Derg* 1990; 24(3): 118-21.
21. Rehany A, Hirschfeld Z. Veneering serviceable restorations. *Quintessence Int* 1988; 19 (11): 787-92.
22. Shue SL, Nichollas J, Townsend JD. The effect of metal retentive desing on resin veneer retention. *J Prosthet Dent* 1987; 58 (3): 297-305.
23. Stananough D. Laboratory procedures for inlays, crown and bridges, Blackwell Scientific Publisch Oxford, 1975 ( Kaynak 20'den alınmıştır ).
24. Tanaka T, Atsuta M, Uchiyama Y, Kawashima I. Pitting corrosion for retaining acrylic resin facings. *Prosthet Dent* 1979; 42: 282-91.
25. Yavuzyılmaz H. Metal destekli estetik kuronlar. Ankara, 1985: 90-8.

**Yazışma Adresi :**

**Yrd.Doç.Dr. Zeynep YEŞİL**  
Atatürk Üniv. Diş Hek.Fak.  
Protetik Diş Tedavisi Anabilim Dalı  
**25240-ERZURUM**